

اثر عمق قرارگیری تونل بر رفتار سازه‌ی تونل‌های شهری تحت اثر حرکت قوی زمین

علی گمک‌پناه (دانشیار)

بهنام شاه‌ Hammond (دانشجوی کارشناسی ارشد)

دانشکده‌ی فنی و هندسی، دانشگاه تربیت مدرس

سازه‌ها و فضاهای زیرزمینی یکی از مهم‌ترین و امروزی‌ترین نیازهای شهرنشینی مدرن‌اند. به طور تجربی سازه‌های زیرزمینی نسبت به سازه‌های سطحی از آسیب‌پذیری کم‌تری برخوردارند. بسیاری از این سازه‌ها در محیط‌های آبرفتی و سست شهری قرار دارند و در معرض آسیب‌های ناشی از زلزله‌اند. امروزه با دست‌یابی به رایانه و نرم‌افزارهای ویژه‌ی مدل‌سازی عددی، تحلیل پویای (دینامیک) سیستم‌هایی که شامل خاک و سازه‌اند، می‌پرس شده است. در این تحقیق با توجه به وجود کرنش صفر در راستای طول تونل، تحلیل دو بعدی با فرض کرنش صفحه‌ی و با استفاده از نرم‌افزار FLAC 2D انجام می‌شود. در این تحقیق اثر عمق قرارگیری تونل در محیط‌یا همان سریار تونل مدنظر قرار گرفته که نتیجه‌ی آن افزایش نیروها و ممان از پوشش تونل بر اثر افزایش روباره‌ی تونل در یک محیط آبرفتی و افزایش خطر سازه‌ی تونل در هنگام زلزله است. با مقایسه‌ی حل عددی و حل تحلیلی که از دو روش Wang و Penzien به دست آمداند، و مشاهده‌ی نتایج کاملاً متناظر حاصله، به عدم تطابق کامل این دو روش پی می‌بریم.

a.panah@modares.ac.ir
b.shahmohammadi@gmail.com

وازگان کلیدی: سازه‌های زیرزمینی، اندرکنش خاک و سازه تونل، تحلیل پویا، FLAC 2D

مقدمه

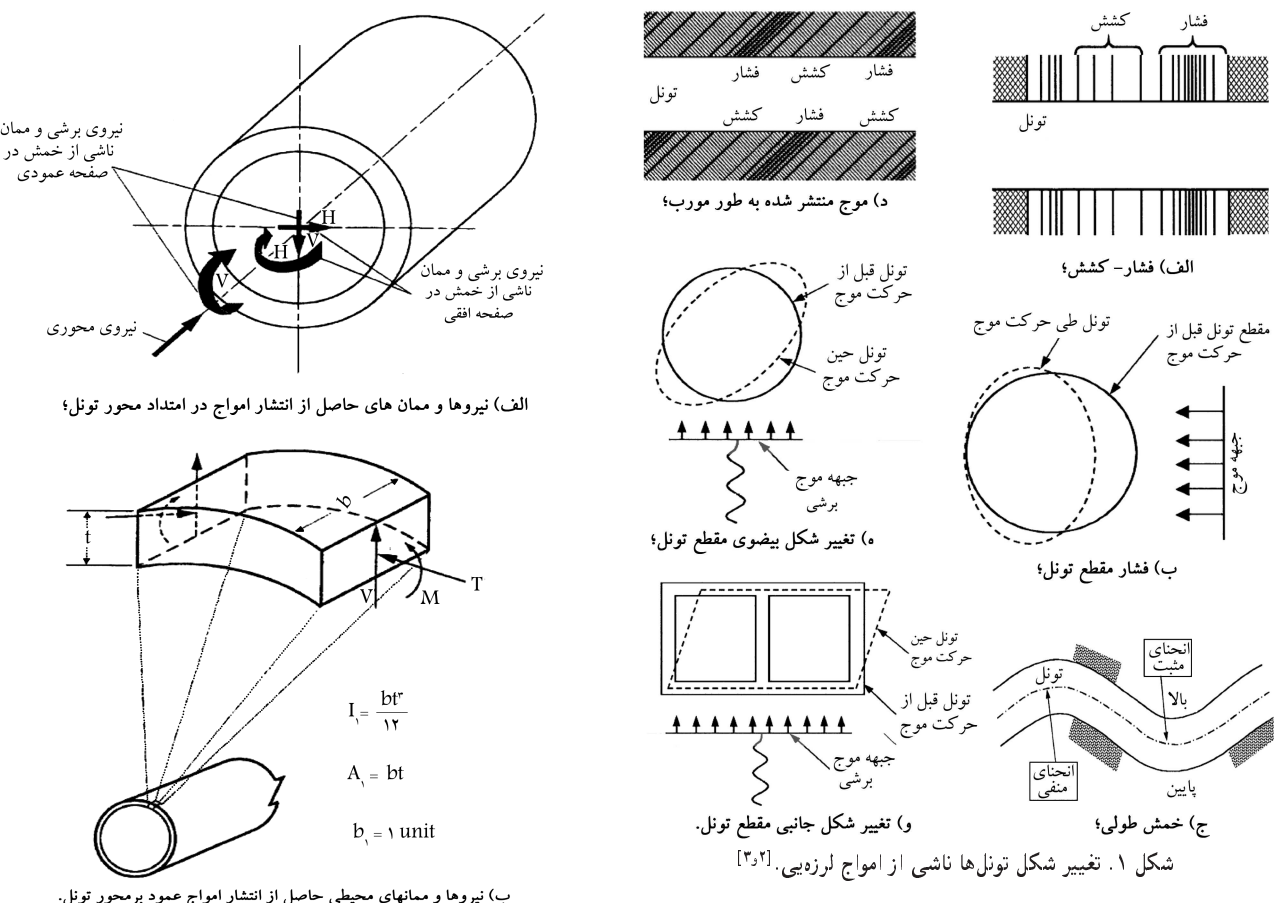
بررسی آبرفتی است، خاک از حالت کشسان (الاستیک) خارج شده و خمیری می‌شود.^[۱-۵] روش تفاضل محدود بهترین روش برای مدل‌کردن تغییر شکل‌های بزرگ است. در این روش چون هیچ‌گونه ماتریسی به وجود نمی‌آید، با محدودیت‌های کم‌تری مواجه هستیم. حل بدون ماتریس همچنین تحلیل تغییر مکان‌های بزرگ بدون اقدامات اضافی را ممکن می‌سازد که در محاسبات دینامیکی سیار مؤثر است؛ از این روش به راحتی می‌توان در تحلیل موادی که رفتار زمان‌مند دارند استفاده کرد. در این تحقیق ضمن استفاده از روش تفاضل محدود برای مدل‌سازی، رفتار خاک نیز کشسانی - خمیری با معیار گسیختگی موهر-کلمب در نظر گرفته شده است.^[۶]

روش‌های حل بسته در تونل‌های دایره‌یی تحت بار زلزله
با ساخت زمین به زلزله رامی‌توان در دو گروه ارزیابی کرد: ۱. گسیختگی زمین؛ ۲. تکان‌های زمین و تغییر شکل‌های زمین. با پذیرفتن این نکته که در زمین غالباً تغییر شکل‌های بزرگی که مؤید گسیختگی است رخ نمی‌دهد، بر تکان‌های زمین و تغییر شکل‌های ایجاد شده تأکید می‌شود.^[۷] گاهی به منظور مدل‌کردن رفتار تونل در تغییر شکل‌های ایجاد شده

سازه‌های روزمزینی غالباً با توجه به نیروی واردہ به سازه، از طریق محاسبه‌ی اثر شتاب به وجود آمده توسط زلزله بر جرم سازه، طراحی می‌شوند. اما سازه‌های زیرزمینی عموماً با توجه به تغییر شکل تحمیل شده به سازه از طریق محیط اطراف و به منظور سازگاری با این تغییر شکل‌ها طراحی می‌شوند که غالباً به اندرکنش خاک و سازه‌ی تونل منجر می‌شود. زمین در مناطق شهری معمولاً خاکی است و از آنجا که خاک این مناطق را معمولاً رسوبات آبرفتی و کم مقاومت تشکیل می‌دهد، مشکلات بیشتری در زمینه‌ی احداث و تحلیل فضاهای زیرزمینی در شهرها حادث می‌شود.

با پیشرفت علم و دست‌یابی به رایانه، نرم‌افزارهای ویژه‌ی تحلیل مدل‌های رفتاری زمین و مدل‌سازی فضاهای زیرزمینی در دسترس قرار گرفت. در اغلب مواقع با توجه به حالت کرنش صفر در راستای طول تونل، مدل‌سازی تونل‌ها به صورت دو بعدی است و بر همین مبنای با فرض کرنش صفحه‌ی تحلیل هایی انجام می‌گیرد. در این حالت فرض می‌شود که به عملت زیاد بودن اندازه یک بعد نسبت به دو بعد دیگر، تغییرات در راستای آن بعد کم و قبل اغمض است. از طرف دیگر باید توجه داشت که در زمان و قوع زلزله تغییر شکل‌های بزرگی به وقوع می‌پیوندد و چون محیط مورد

تاریخ: دریافت ۱۰، ۱۳۸۷، ۱۲، ۱۰، اصلاحیه ۱۳۸۸، ۱۱، ۳۰، پذیرش ۱۳۸۹، ۱۱.



ب) نیروها و ممانهای محیطی حاصل از انتشار امواج عمود بر محور تونل.

شکل ۲. نیروها و ممانهای حاصل از امواج لرزه‌یی.

شیوه است، مطابق رابطه‌ی ۱ و ۲ به دست می‌آید:

$$\frac{\Delta d_{free-field}}{d} = \pm \frac{\gamma_{\max}}{\gamma} \quad (1)$$

$$\gamma_{\max} = \frac{V_s}{C_s} \quad (2)$$

که در آنها $\Delta d_{free-field}$ تغییر شکل میدان آزاد، d ، قطر تونل، v_{max} گرنش قطری بیشینه، C_s سرعت ظاهری مسیر شده به وسیله ای امواج S ، V_s سرعت ذره بی پیشینه (تولید شده به وسیله ای امواج S) است. اگر سختی تونل در مقایسه با زمین اطراف خیلی کوچک باشد، اعوجاج یا گرنش قطری در زمین حفاری شده بیشتر وابسته به نسبت بواسون محیط (ν_m) است که در رابطه $\frac{1}{3}$ آمد است:

$$\frac{\Delta d_{free-field}}{d} = \pm \gamma_{\max}(1 - \nu_m) \quad (3)$$

روش دیگر ارزیابی این تغییر شکل‌ها، در نظر گرفتن اندرکنش خاک و سازه با استفاده از روش تیر روی بستر کشسان است. این معادلات تنها برای ساخت سازه‌ها در زمین نرم مناسب‌اند. سازه‌ها را می‌توان در سنگ‌ها یا خاک‌های سخت و برای تغییر شکل‌های میدان آزاد طراحی کرد. برای تعیین این تغییر شکل‌ها و نیروها در تونل‌های دایره‌بی ناشی از اندرکنش خاک و سازه تحت بارگذاری لرزه‌بی، دو روش حل وجود

در سال های ۱۹۹۳ تا ۲۰۰۰ حل های شکل بسته به منظور محاسبه‌ی نیروها و تعییر مکان ها در پوشش تول ناشی از تعییر شکل های بیضوی شبه استاتیکی، تقطیع (Penzien, ۱۹۹۳) این روش را در اینجا معرفی کرد.

توسط زمین، آن را مانند یک تیر کشسان ارزیابی می‌کنند. سه نوع تغییر شکل برای یاسخ‌سازه‌های زیرزمینی، به حرکات لززه‌ی، بیان شده است:

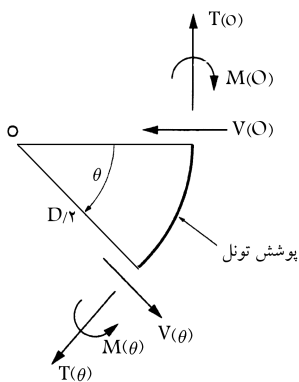
۱. فشردگی و کشیدگی محوری (انبساط و انقباض در طول محور، شکل ۱الف و ۱ب)؛

۲. خمشن طولی (شکل ۱ج و ۱د)؛

۳. تغییر شکل بیضوی و تغییر شکل برشی (جانبی) همراه با جایه‌جایی (شکل ۱ه و ۱و).^[۱۰]

بر اثر این تغییر شکل‌ها، ممان و نیروهایی در پوشش تونل و بر اثر انتشار امواج لرزه‌یی در امتداد محور تونل به وجود می‌آیند (شکل ۱۲الف). همچنین نیروها و ممان‌هایی به وجود آمده در پوشش تونل بر اثر انتشار امواج برشی عمود بر مقطع تونل باعث تغییر شکل‌های بیضوی تونل می‌شوند (شکل ۱ب). این نیروها را می‌توان از تحلیل دو بعدی به دست آورد. تغییر شکل‌های بیضوی بدی‌آورنده‌ی حالات بحرانی و بعض‌ا حرکات لرزه‌یی هستند، مگر در مواردی که تونل مستقیماً توسط گسل برش خورده باشد.^[۱۱] بنابراین تأکید اصلی این پژوهش بر تغییر شکل‌های بیضوی تونل های داوه‌های است.

ساده‌ترین شکل تخمین و ارزیابی تغییر شکل‌های بیضوی تونل‌های دایریه‌ی، پذیرش تغییر شکل‌های تونل‌های دایریه‌ی در شرایط میدان آزاد با چشم‌پوشی از اندکش خاک و سازه است. این مطلب را چنین نیز می‌توان بیان کرد که در صورت در نظر گرفتن تونل، سختی بیضوی تونل (سختی در برابر تغییر شکل‌های بیضوی) با ساخته نهاده است که تنها در این آنکه تونل آزاد



شکل ۳. قانون عالمت برای مؤلفه‌های نیرو در پوشش تونل دایره‌بی.^[۷]

تا ۱۵ بیان شده، و نیروها و جهت آنها نیز در شکل ۳ نشان داده شده است.^[۷]

$$\pm \Delta d_{lining}^n = \pm R^n \Delta d_{free-field} \quad (۱۲)$$

$$T(\theta) = -\frac{12E_l I \Delta d_{lining}^n}{d^r(1-v_l^r)} \cos 2\left(\theta + \frac{\pi}{4}\right) \quad (۱۳)$$

$$M(\theta) = -\frac{6E_l I \Delta d_{lining}^n}{d^r(1-v_l^r)} \cos 2\left(\theta + \frac{\pi}{4}\right) \quad (۱۴)$$

$$V(\theta) = -\frac{24E_l I \Delta d_{lining}^n}{d^r(1-v_l^r)} \sin 2\left(\theta + \frac{\pi}{4}\right) \quad (۱۵)$$

نسبت پاکسازی خاک - پوشش تحت بارگذاری نرمال (R^n) در روابط ۱۶ و ۱۷ بیان می‌شود:^[۷]

$$R^n = \pm \frac{4(1-v_m)}{(\alpha^n + 1)} \quad (۱۶)$$

$$\alpha^n = -\frac{12E_l I(5-6v_m)}{d^r G_m(1-v_l^r)} \quad (۱۷)$$

G_m مدل برشی محیط است. روش Penzien در شرایط عدم لغزش نیز در روابط ۱۸ تا ۲۳ ارائه می‌شود:^[۷]

$$\pm \Delta d_{lining} = \pm R \Delta d_{free-field} \quad (۱۸)$$

$$T(\theta) = -\frac{24E_l I \Delta d_{lining}}{d^r(1-v_l^r)} \cos 2\left(\theta + \frac{\pi}{4}\right) \quad (۱۹)$$

$$M(\theta) = -\frac{6E_l I \Delta d_{lining}}{d^r(1-v_l^r)} \cos 2\left(\theta + \frac{\pi}{4}\right) \quad (۲۰)$$

$$V(\theta) = -\frac{24E_l I \Delta d_{lining}}{d^r(1-v_l^r)} \sin 2\left(\theta + \frac{\pi}{4}\right) \quad (۲۱)$$

$$R = \pm \frac{4(1-v_m)}{(\alpha + 1)} \quad (۲۲)$$

$$\alpha = \frac{24E_l I(3-4v_m)}{d^r G_m(1-v_l^r)} \quad (۲۳)$$

تحلیل عددی به کارگرفته شده توسط محققین برای حل مسئله‌ی نمونه ارائه شده است.^[۶] روش اجراء محدود با به کارگیری برنامه‌ی (BV-۲۰۰۰) Plaxis انجام شده و بدین‌وسیله روش‌های تحلیلی تغییر شکل‌های بیضوی تونل‌های دایره‌بی مورد ارزیابی قرار می‌گیرند. شرایط تحلیل‌های به کار رفته که بعضاً با شرایط روش تحلیلی یکسان است، عبارت‌اند از:

۱. برقراری شرایط کرنش صفحه‌ی در این تحلیل‌ها؛

۲. خطی بودن رفتار زمین و پوشش کشسان، و ناچیز بودن جرم مصالح؛

تعیین پارامترهای نیروی محوری (رانش)، نیروی برشی و ممان‌های خمشی و تغییر مکان‌ها تحت شرایط بارگذاری خارجی است. این روش حل‌ها برای هر دو شرایط لغزش کامل و شرایط عدم زمین‌لغزه بین خاک و پوشش تونل توسعه یافته‌اند. طبق مطالعات گوناگون، لغزش تنها در مرز تونل و خاک در خاک‌های نرم یا در موارد باگذاری لزه‌بی شدید امکان‌پذیر است. برای اغلب تونل‌ها، شرایط مرزی بین لغزش کامل و عدم لغزش وجود دارد. تابعی پوشش تونل تابعی از قابلیت بحرانی پوشش مورد مطالعه قرار می‌گیرند.^[۱۶] پاسخ پوشش تونل تابعی از قابلیت فشردگی و نسبت‌های انعطاف‌پذیری سازه و فشار سربار خارجی (h/γ) و ضریب سکون فشار زمین (K_0) در خاک است. سختی تونل نسبت به محیط زمین اطراف به وسیله‌ی قابلیت فشردگی و نسبت انعطاف‌پذیری ارزیابی می‌شود. F و C که اندازه‌های سختی خمشی و سختی فشردگی محیط (به منظور مقاومت در برای تغییر شکل بیضوی) نسبت به تونل هستند، مطابق رابطه‌ی ۴ و ۵ ارائه می‌شوند:

$$C = \frac{E_m(1-v_l^r)R}{E_l t(1+v_m)(1-2v_m)} \quad (۴)$$

$$F = \frac{E_m(1-v_l^r)R^r}{6E_l I(1+v_m)} \quad (۵)$$

که در آن E_m مدل کشسانی محیط اطراف تونل، I ممان اینرسی پوشش تونل دایره‌بی (در واحد عرض)، E_l و v_l مدل کشسانی و نسبت پواسون سازه‌ی تونل، R و t شعاع و ضخامت پوشش تونل‌اند. کرنش قطری، نیروی محوری بیشینه، و ممان خمشی در روش Wang با شرط بذیرش لغزش کامل بدون جدایی در روابط ۶ تا ۹ بیان می‌شوند:

$$\frac{\Delta d}{d} = \pm \frac{1}{3} K_1 F \gamma_{max} \quad (۶)$$

$$T_{max} = \pm \frac{1}{6} K_1 \frac{E_m}{(1+v_m)} R \gamma_{max} \quad (۷)$$

$$M_{max} = \pm \frac{1}{6} K_1 \frac{E_m}{(1+v_m)} R^r \gamma_{max} \quad (۸)$$

$$K_1 = \frac{12(1-v_m)}{2F + 5 - 6v_m} \quad (۹)$$

در شرایط عدم لغزش طبق، روش Wang نیروی محوری مطابق روابط ۱۰ و ۱۱ به دست می‌آید:

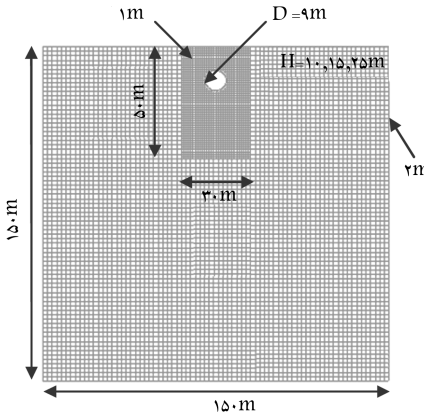
$$T_{max} = \pm K_1 \tau_{max} R = \pm K_1 \frac{E_m}{2(1+v_m)} R \gamma_{max} \quad (۱۰)$$

$$K_1 = 1 + \frac{-\frac{1}{7}(1-2v_m)^2 + 2 + F [(1-2v_m) - (1-2v_m)C]}{F [(3-2v_m) + (1-2v_m)C] + C [\frac{5}{7} - 8v_m + 8v_m^2] + 6 - 8v_m} \quad (۱۱)$$

که در آن τ_{max} تنش برشی بیشینه بر روی سازه‌ی تونل است. یادآور می‌شود حل ویژه‌ی برای محاسبه‌ی کرنش قطری و ممان بیشینه تحت شرایط عدم لغزش وجود ندارد. استفاده از راه حل‌های موجود برای شرایط لغزش کامل در مورد شرایط عدم لغزش نیز توصیه می‌شود.^[۱۷] روش Penzien در شرایط لغزش کامل در روابط ۱۲

جدول ۱. پارامترهای ریوتکنیکی مصالح خاک دانه‌بی.

ویژگی خاک	ضریب سکون خاک	چگالی (Kg/m³)	چسبندگی (Kg/m³)	زاویه اصطکاک داخلی خاک	نسبت تخلخل خاک	نسبت پوآسون خاک
مقدار پارامتر	۰,۴۳	۲۱۰۰	۰	۳۵	۰,۳	۰,۲۵



شکل ۴. هندسه و ناحیه‌بندی در نرم‌افزار FLAC.

خاک را در هر لایه‌ی ۱۰ متری در عمق ۱۵۰ متر به دست آورdim. مشخصات مکانیکی مصالح آبرفتی نظر K, G و E با توجه به مدل برشی دینامیکی G و از روابط ۲۴ تا ۲۶ تعیین می‌شوند.

$$G_{\max} = 123 \cdot \frac{(2,973 - e)^{\frac{1}{2}}}{1 + e} (OCR)^K \sigma^{\frac{1}{2}} \quad (24)$$

$$E = 2G(1 + v) \quad (25)$$

$$K = \frac{E}{2(1 - 2v)} \quad (26)$$

همان‌طور که در جدول ۱ و ۲ مشاهده می‌شود، در مدل‌سازی خاک با تراکم بالا در نظر گرفته شده است. همچنین از آنجا که تونل در مناطق شهری غالباً در اعمان سطحی ساخته می‌شود، برای بررسی اثر عمق، سه عمق ۱۰، ۱۵ و ۲۵ متری و اثر سختی تونل نسبت به محیط نیز با تغییر در ضخامت پوشش تونل و با سه ضخامت ۳۰، ۴۰ و ۵۰ سانتی‌متر مورد مطالعه قرار می‌گیرد (هنده و ناحیه‌بندی مدل در شکل ۴ نشان داده شده است).

چنان‌که پیش‌تر نیز مشاهده شد، معادلات تحلیلی و مطالعات انجام شده بیشتر بر روی مقاطع دایره‌بی تونل انجام شده‌اند. یکی از اهداف اصلی این تحقیق مقایسه‌ی نتایج حاصل از روش‌های عددی با روش‌های تحلیلی است؛ چون حفاری مقطع تونل اغلب به صورت دایره‌بی انجام می‌شود، تونل دایره‌بی با قطر ۹ متر (قطر تونل‌های شهری نظری متداول تهران نیز در این حدود است) در نظر گرفته شده است. مرحله‌ی ساخت تونل با فرض انجام حفاری با TBM است که پوشش تونل بلاfacسله بعد از حفاری و بدون سیستم نگهداری اولیه و در تماس مستقیم با خاک نصب می‌شود. برای مدل‌سازی اثر زلزله، از زلزله‌بی باشدت بالا – زلزله‌ی طبس با بزرگی گشتاوری ۳ ریشر و ۰,۸۳ g PGA (شکل ۵) – استفاده شده و تأثیرات آن بر سازه‌ی ۷/۳ زیرزمینی مورد مطالعه قرار گرفته است.

قبل از مدل‌سازی و اعمال زلزله‌ی در نظر گرفته شده، اندازه‌ی مشبکه‌ی کنترل می‌شود. در صورتی که کمترین سرعت موج برشی معادل $\frac{m}{s}$ ۲۰۰، و بزرگ‌ترین

۳. خالص بودن بازگذاری برشی در انتهای مرزها به منظور مدل‌سازی شرایط برش. که نتایج حاصله بیان‌گر انطباق خوب روش‌های تحلیلی و عددی است.^[۶] همچنین این نتایج بیان می‌کنند که با افزایش عمق تونل میزان خطر پذیری سازه بر اثر زلزله کاهش می‌یابد؛ اگرچه مواردی که ناقص برخی از نتایج فوق است – مانند مواردی که در آفریقا جنوبی مشاهده شده‌اند – نیز گزارش شده است.

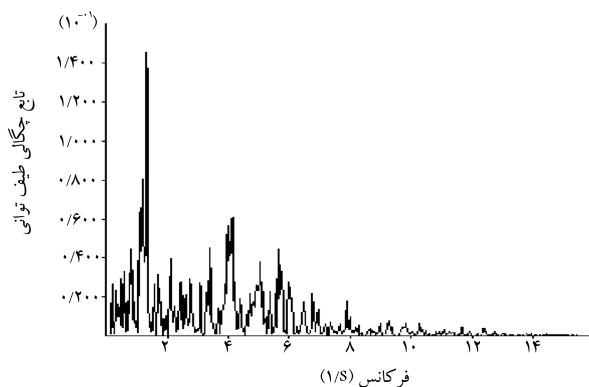
برخی از موارد گزارش شده حاکی از تخریب فضاهای زیرزمینی براثر زلزله در اعمان زیاد است. برای مثال، در تونلی که در سنگ حفاری شده و سنگ اطراف آن از جنس کوارتزیت است و در عمق ۲۵۰ m قرار دارد؛ بررسی‌ها نشان داده که عمق زیاد تونل و درنتیجه وزن زیاد سنگ روباره باعث تخریب آن شده است. لازم به ذکر است خرابی در اثر وقوع زلزله‌بی به بزرگی ۳ ریشر گزارش شده، در حالی که طراحی یک سیستم حفاظتی مناسب می‌توانست از تخریب آن جلوگیری کند.

تونل دیگری با سیستم حفاظتی به ظاهر مناسب، در محیطی مشتمل از سنگ‌های آندزیتی با مقاومت فشاری تکمحوری ۱۵۰ MPa تشكیل شده که در عمق ۱۰۰۰ m قدر واقع شده است. سیستم حفاظتی مشتمل از راک‌بولت‌هایی به قطر ۲۲ mm با مقاومت جاری شدن بالا است که سیمان نیز در آن تزریق شده است. همچنین شبکه‌ی آرماتور‌بندی به قطر ۶ mm با فاصله‌ی ۱۵۰ mm از هم، که توسط شاتکریتی به ضخامت ۱۰۰ mm سطح حفاری را پوشانده، در نظر گرفته شده است. برای وقوع زلزله‌بی به بزرگی ۴ ریشر، تعییر مکان‌های زیادی در دیواره‌ی تونل رخ داده و باعث تخریب آن شده است. لازم به ذکر است که در دو مورد فوق عبور گسل از مقطعی مجاور تونل گزارش نشده است.^[۸]

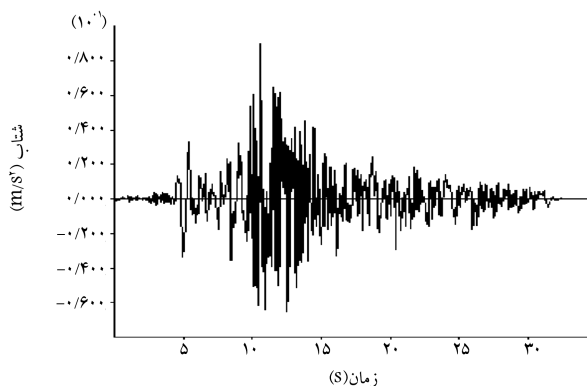
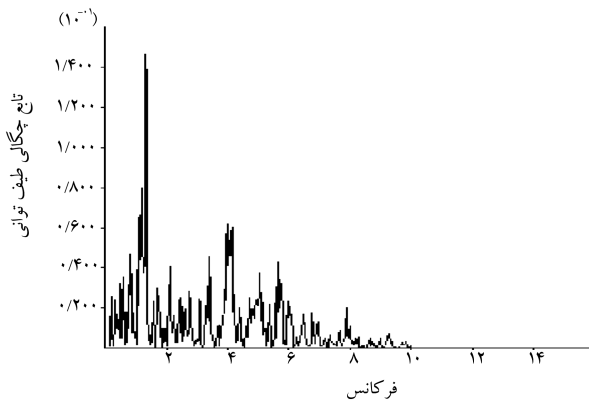
به دلیل در نظر گرفتن شرط دوم در تحلیل‌ها لازم است توجه داشته باشیم که در این روش‌ها میزان جرم سازه و خاک ناچیز است و محیط نیز کاملاً کشسان فرض می‌شود، که به نظر می‌رسد با شرایط واقعی خاک فاصله دارد. در این تحقیق که هدف آن بررسی اثر عمق و سربار روی آن است، اثر وزن خاک و به تبع آن افزایش وزن سربار تونل و نیز خمیری بودن محیط، نتایج حاصل از بررسی را کاملاً تحت تأثیر قرار می‌دهد. به همین دلیل این تحقیق برمبنای رفتار واقعی خاک با در نظر گرفتن رفتار خمیری خاک و وزن آن انجام می‌شود و در ادامه، اثر عمق تونل به هنگام زلزله بررسی می‌شود.

مدل‌های هندسی، مشخصات مصالح و ویژگی نگاشتهای زلزله

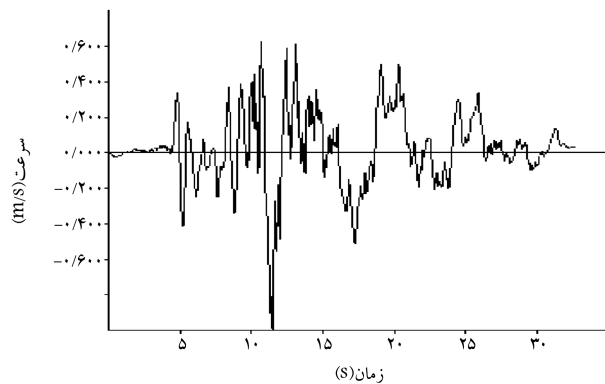
چنان‌که اشاره شد، در این تحقیق سعی می‌شود اثر عمق قرارگیری تونل و نیز سختی تونل نسبت به محیط اطراف را در ایجاد نیروهای اضافی حاصل از زلزله در پوشش تونل با یکدیگر مقایسه کنیم. برای این منظور از خاکی با مشخصات ارائه شده در جدول‌های ۱ و ۲ استفاده کردیم. یادآور می‌شود که در این تحقیق پارامترهای مکانیکی



شکل ۶. تابع F.F.T. تاریخچه زمانی شتاب.

شکل ۷. شتاب نگاشت زلزله‌ی ورودی فیلتر شده بر حسب m/s^2 .

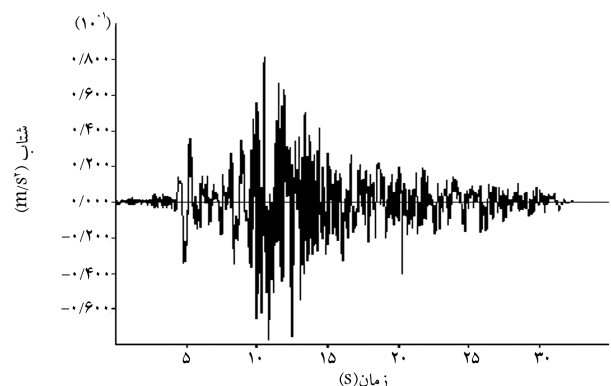
شکل ۸. تابع F.F.T. تاریخچه زمانی شتاب اصلاح شده.



شکل ۹. تابع سرعت نگاشت بعد از فیلتر کردن تابع شتاب.

جدول ۲. مشخصات مکانیکی خاک به کار رفته در مدل سازی عددی (واحدها بر حسب پاسکال است).

لایه	عمق	مدول برشی	مدول کشسانی	مدول بالک
۱	۵	$1,416E+0.8$	$2,540E+0.8$	$2,360E+0.8$
۲	۱۵	$2,453E+0.8$	$6,131E+0.8$	$4,088E+0.8$
۳	۲۵	$3,166E+0.8$	$7,916E+0.8$	$5,277E+0.8$
۴	۳۵	$3,746E+0.8$	$9,366E+0.8$	$6,244E+0.8$
۵	۴۵	$4,248E+0.8$	$10,62E+0.9$	$7,080E+0.8$
۶	۵۵	$4,696E+0.8$	$11,74E+0.9$	$7,827E+0.8$
۷	۶۵	$5,105E+0.8$	$12,76E+0.9$	$8,509E+0.8$
۸	۷۵	$5,484E+0.8$	$13,71E+0.9$	$9,140E+0.8$
۹	۸۵	$5,838E+0.8$	$14,60E+0.9$	$9,730E+0.8$
۱۰	۹۵	$6,172E+0.8$	$15,43E+0.9$	$10,29E+0.9$
۱۱	۱۰۵	$6,489E+0.8$	$16,22E+0.9$	$11,01E+0.9$
۱۲	۱۱۵	$6,791E+0.8$	$16,98E+0.9$	$11,32E+0.9$
۱۳	۱۲۵	$7,080E+0.8$	$17,70E+0.9$	$11,80E+0.9$
۱۴	۱۳۵	$7,358E+0.8$	$18,39E+0.9$	$12,26E+0.9$
۱۵	۱۴۵	$7,625E+0.8$	$19,06E+0.9$	$12,71E+0.9$

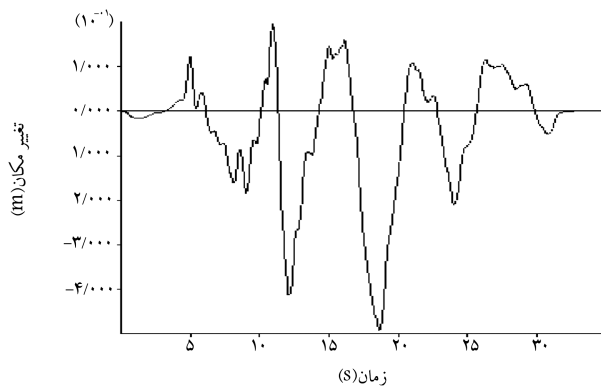
شکل ۵. شتاب نگاشت زلزله‌ی ورودی بر حسب m/s^2 .

اندازه‌ی مشن در شبکه معادل (ΔL) 2 m لحاظ شود، خواهیم داشت:

$$f_{\max} = \frac{C_S}{10 \Delta L} \Rightarrow f_{\max} = \frac{200}{10(2)} = 10 \quad (27)$$

f_{\max} بیشترین فرکانس زلزله‌ی رخداده است. این بدان معناست که فرکانس‌های بزرگ‌تر از 10 هرتز در زلزله‌ی مذکور باید فیلتر شوند. برای این منظور باید طیف شتاب تشکیل، و اصلاحی موسوم به اصلاح خط پایه در مرور زلزله‌ی طبس انجام شود. محتوای فرکانسی موج زلزله از طیف دامنه‌ی فوریه یا طیف توان (یا تابع چگالی طیف توانی) که به وسیله‌ی تابع F.F.T. تاریخچه زمانی شتاب (شکل ۶) تعیین می‌شود، به دست می‌آید. در شکل ۷ نیز تابع شتاب نگاشت بعد از فیلتر شدن مشاهده می‌شود؛ مراحل بعدی کار

با این شتاب نگاشت ادامه می‌باید. در شکل ۸ نیز تابع F.F.T. فیلتر شده مشاهده می‌شود. در ادامه، به ترتیب سرعت‌ها و تغییر مکان‌های ناشی از رکورد شتاب زلزله به دست می‌آید (شکل ۹ و ۱۰). همان‌طور که مشاهده می‌شود، تغییر مکان



شکل ۱۳. تاریخچه زمانی تغییر مکان بعد از اصلاح.

تونل تحمیل می شود. نصب پوشش پس از آزادسازی مقداری از تنش انجام می شود. در واقع هر قدر میزان ترمیص تنش ها بیشتر باشد، مقدار نیروی واردہ بر پوشش تونل کمتر می شود. آزادسازی تنش به میزانی انجام می شود که تغییر مکان های تونل (محل حفاری) و همچنین تغییر مکان ها در سطح زمین، با توجه به آن که در محیط شهری حفاری می شود، بیش از حد مجاز نشود. در این مدل ها معمولاً آزادسازی تنش تا اندازه بی انجام می شود که تغییر مکان نهایی روی سطح زمین -- قبل و بعد از نصب پوشش -- بیش از ۱/۵ سانتی متر نشود. این میزان برای خاک مورد نظر برابر ۳۰٪ به دست آمده است.

پوشش تونل از تعدادی المان سازه‌ی خطی تشکیل شده، که نوعی تیراست. مشخصات هندسی مقاطع پوشش تونل در جدول ۳ ارائه شده است. مشخصات مصالح بتن نیز عبارت است از:

$$\rho = 2500 \frac{Kg}{m^3} \quad \text{و} \quad Shape Factor = 0.5$$

$$f'_c = 300 \frac{Kg}{Cm^2} \quad (E = 15100 \sqrt{f'_c})$$

$$\Rightarrow E = 2,57 \times 10^{10} Pa \quad \text{و} \quad v = 0.2$$

«ضریب شکل» پارامتری است که به طور مشخص منطبق با سطح مقطع در نظر گرفته شده برای شکل های مختلف المان خطی است. با توجه به دستورالعمل نرم افزار ضریب شکل ۰/۵ اختیار می شود. مشخصات سطح مشترک خاک و سازه نیز مطابق جدول ۴ است. لازم به ذکر است SHjTt نشان دهنده مدل خاک (S) در عمق (H) ز با خاصیت (T) است و K_s و K_n به ترتیب ضرایب سختی فنر در اندرکنش خاک و سازه در حالت نرمال و برشی است. محققین در سال ۱۹۸۷

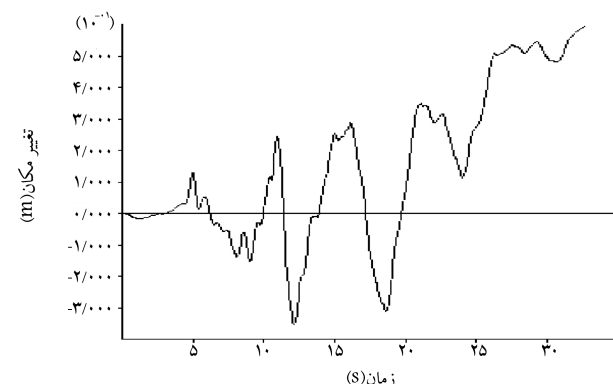
جدول ۳. مشخصات هندسی پوشش تونل.

0.5	0.4	0.3	ضخامت پوشش تونل (m)
0.5	0.4	0.3	(m^3/m)
0.01041	0.005	0.0023	(m^4/m)

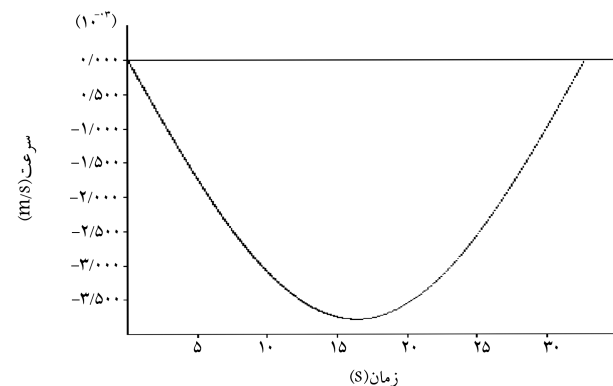
جدول ۴. مشخصات سطح مشترک خاک و سازه.

زاویه‌ی اصطکاک داخلی	زاویه‌ی اصطکاک	چسبندگی (Pa)	K_s , K_n	ویرگی‌های المان سطح مشترک
23°	0°	$1/43E8$	SH 10 Tt	
23°	0°	$1/58E8$	SH 15 Tt	
23°	0°	$1/8E8$	SH 25 Tt	

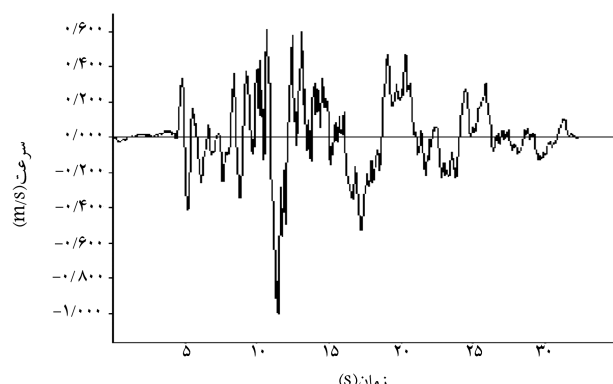
نهایی به دست آمده صفر نیست. برای این امر یکتابع سینوسی با فرکانس کم (شکل ۱۱) به تابع سرعت نگاشت افزوده می شود تا تغییر مکان نهایی صفر شود. شکل ۱۲ تابع سرعت نگاشت اصلاح شده را نشان می دهد، و شکل ۱۳ نیز به منظور کنترل، تابع تغییر مکان را بعد از آن که تابع سرعت اصلاح شد، نشان داده است. چنان که مشاهده می شود، تغییر مکان نهایی صفر است. از تابع سرعت نگاشت اصلاح شده در محاسبه‌ی تنش‌های برشی که در ادامه بیان می شود، استفاده شده است. بعد از مراحل ذکر شده، به مدل سازی مرحله‌ی حفاری براساس روش آرائه شده در سال ۱۹۷۹ انجام شد که مبتنی بر آزادسازی تنش است. در این روش مدل سازی، قسمتی از پایداری تونل توسط خاک تأمین می شود و مابقی به پوشش



شکل ۱۰. تاریخچه زمانی تغییر مکان زلزله‌ی ورودی.



شکل ۱۱. تابع سینوسی افزوده شده به تابع سرعت.



شکل ۱۲. تابع سرعت نهایی بعد از اصلاح خط پایه.

۲۹ موج سرعت به موج تنش تبدیل شده و به مرز پایین اعمال می‌شود.^[۶]

$$\sigma_s = 2(\rho C_s) v_s \quad (29)$$

که در آن σ_s تنش برشی اعمال شده، ρ چگالی جرمی، v_s سرعت ذره‌بی برشی، و C_s سرعت انتشار امواج S در محیط است که از رابطه‌ی 30 به دست می‌آید:^[۶]

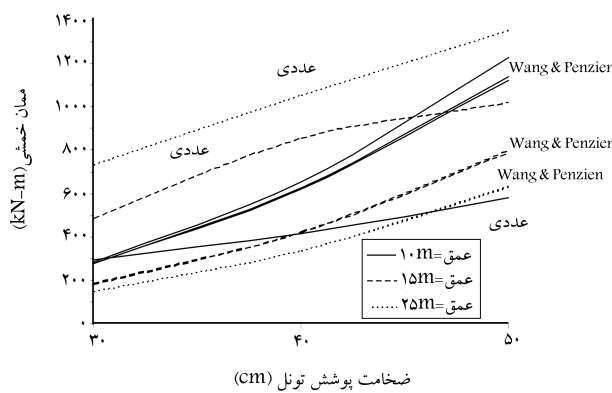
$$C_s = \sqrt{\frac{G}{\rho}} \quad (30)$$

G مدول برشی خاک است. با انجام مراحل مدل‌سازی و پایان حل مدل‌های ساخته شده، در ادامه نتایج به دست آمده بررسی می‌شود.

بررسی پاسخ پویای اندرکنیش خاک و سازه‌ی تونل در برابر زلزله

در این بخش میرزان نیروهای وارد بر پوشش تونل بعد از وقوع زلزله بررسی می‌شود. همچنین نتایج حاصل از روش عددی تفاضل محدود با روش تحلیلی ارائه شده (روش Wang و Penzien در دو حالت لغزش و عدم لغزش رخ داده در سطح مشترک بین سازه‌ی تونل و محیط) مقایسه شده و نتایج آن ارائه می‌شود. در شکل ۱۴ ممان‌های حاصل از روش عددی و تحلیلی بر اثر تکان‌های زلزله ارائه شده است. با توجه به شکل ۱۴ مشاهده می‌شود که در هر دو روش عددی و تحلیلی با افزایش ضخامت بر میرزان ممان‌ها افزوده می‌شود؛ همچنین با افزایش عمق تونل در روش عددی بر میرزان نیروها افزوده می‌شود اما در روش تحلیلی از میرزان نیروها کاسته می‌شود. از هر دو روش تحلیلی اشاره شده مقدار ممان‌های مشابهی نتیجه می‌شود، ولی با روش عددی اختلاف دارند.

در شکل ۱۵ نیروهای محوری بین دو روش تحلیلی Wang و روش عددی به کار رفته در این تحقیق مقایسه شده‌اند. چنان‌که مشاهده می‌شود، در روش تحلیلی که در دو حالت امکان لغزش و عدم لغزش بین محیط و پوشش تونل بررسی شده، بین نیروهای محوری به وجود آمده اختلاف قابل توجهی وجود دارد. حالت واقعی نیروهای محوری به وجود آمده در پوشش تونل در محدوده‌ی بین این دو حالت قرار دارد که نتایج حاصله نیز مطابق پیش‌بینی‌ها است. تغییر سختی (ضخامت) پوشش تونل تأثیری در میرزان نیروهای حاصله ندارد. در روش عددی با افزایش عمق بر میرزان نیروها افزوده می‌شود، در حالی که روش تحلیلی کاهش نیرو را نتیجه می‌دهد.



شکل ۱۴. مقایسه‌ی ممان‌های حاصل از روش عددی و تحلیلی بر اثر تکان‌های زلزله.

طرح کردند که ضرایب فنر تابعی از طول موج برخورد کرده هستند:

$$K_n = K_s = \frac{16\pi G_m(1-v_m)}{(3-4v_m)} \frac{d}{L} \quad (28)$$

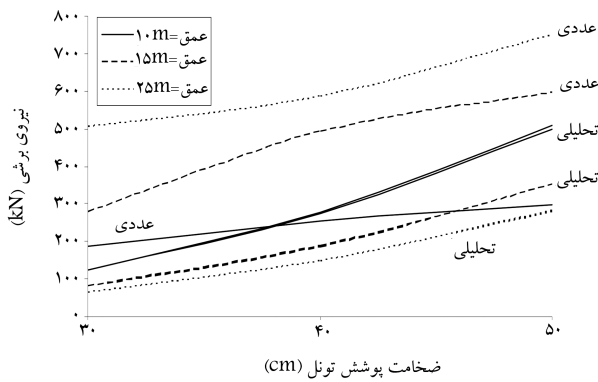
بعد از انجام مراحل مدل‌سازی ایستاده با نصب پوشش تونل خاتمه یافت و تعادل ایستا و نیروهای پوشش تونل در این مرحله مشخص شد، مرحله‌ی تحلیل پویا آغاز می‌شود.

مرحله‌ی تحلیل پویا با اختصاص مشخصات میرابی به مصالح آغاز می‌شود. میرابی حقیقی برای خاک، میرابی هیسترتیک است ولی به علت آن که مدل‌سازی عددی این میرابی مشکل است، از میرابی رایلی به جای آن استفاده شده است. برای مدل‌گردن شرایط بی‌نهایت در محیط، مزهای دینامیکی به سیستم اعمال شده است. بدین ترتیب لازم است برای مزهای کناری شرایط مزی میدان آزاد، برای مزهای پایینی مز آرامش (ویسکوز) به محیط اعمال شود تا اثر انکاس امواج کمینه شود. برای آن که بتوان از میرابی رایلی به جای میرابی هیسترتیک استفاده کرد، لازم است محدودیت‌هایی اعمال شود، از جمله این که پارامترهای میرابی رایلی خاک از بیشترین سطح کرنش کشسان میرابی هیسترتیک به درصد 65% متوسط کرنش‌های کشسان بیشینه در مدل است). به عقیده‌ی کرامر، کرنش‌های معادل یا مؤثر در 65% کرنش بیشینه در مدل است). برای این نظریه، برای هر خاک در هر لایه و در سطح کرنش ذکر شده مدول برشی اولیه بر حسب عمق به مقادیری کاهش می‌یابد و نسبت میرابی برای خاک بر حسب عمق نیز به دست آمده است. در جدول ۵ مدول برشی کاهش یافته، تغییرات نسبت میرابی بحرانی و سرعت موج برشی ارائه شده است.

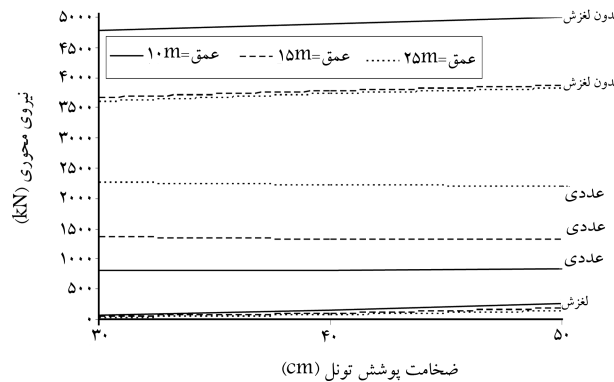
با تعریف مز ویسکوز، موج به صورت موج تنش است؛ موج شتاب یا موج سرعت را به مز ویسکوز نمی‌توان اعمال کرد. برای این منظور با استفاده از رابطه

جدول ۵. مدول برشی کاهش یافته، تغییرات نسبت میرابی بحرانی و سرعت موج برشی.

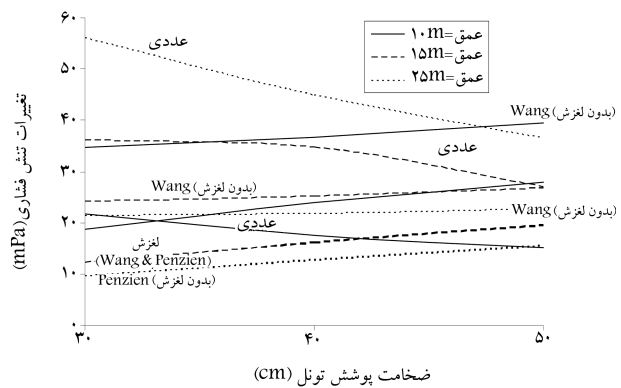
لایه	عمق	مدول برشی کاهش یافته (پاسکال)	تغییرات نسبت میرابی بحرانی یافته (پاسکال)	سرعت موج برشی (متر بر ثانیه)
۱	۵	$4,531E+0.7$	$0,211$	260
۲	۱۵	$1,167E+0.8$	$0,163$	342
۳	۲۵	$1,740E+0.8$	$0,140$	388
۴	۳۵	$2,234E+0.8$	$0,125$	422
۵	۴۵	$2,676E+0.8$	$0,115$	450
۶	۵۵	$3,079E+0.8$	$0,107$	473
۷	۶۵	$3,453E+0.8$	$0,101$	493
۸	۷۵	$3,802E+0.8$	$0,095$	511
۹	۸۵	$4,122E+0.8$	$0,091$	527
۱۰	۹۵	$4,445E+0.8$	$0,087$	542
۱۱	۱۰۵	$4,773E+0.8$	$0,084$	556
۱۲	۱۱۵	$5,094E+0.8$	$0,081$	569
۱۳	۱۲۵	$5,304E+0.8$	$0,078$	581
۱۴	۱۳۵	$5,569E+0.8$	$0,075$	592
۱۵	۱۴۵	$5,825E+0.8$	$0,073$	603



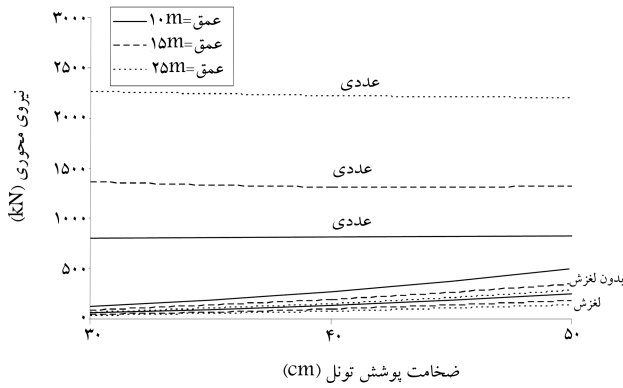
شکل ۱۷. مقایسه نیروهای برشی ناشی از زلزله حاصل از روش عددی و روش تحلیلی.



شکل ۱۵. مقایسه نیروهای محوری ناشی از زلزله حاصل از روش عددی و روش تحلیلی Wang.



شکل ۱۸. مقایسه تنش‌های فشاری ناشی از زلزله حاصل از روش عددی و روش تحلیلی.



شکل ۱۶. مقایسه نیروهای محوری ناشی از زلزله حاصل از روش عددی و روش تحلیلی Penzien.

دریابیم که در صورت استفاده از روش تحلیلی و با توجه به اختلاف زیاد در میزان نیروهای محوری به دست آمده، آیا روش تحلیلی می‌تواند به طراحی رضایت‌بخشی منجر شود یا خیر؟ دلیل دوم این بررسی، ارزیابی میزان ریسک سازه در دو حالت عددی و تحلیلی است. افزایش احتمالی میزان تنش‌ها، نشان‌دهنده افزایش ریسک است.

در شکل ۱۸ تنش‌های فشاری ناشی از زلزله، حاصل از روش عددی و تحلیلی مقایسه شده‌اند. در ارتباط با تنش فشاری مشاهده می‌شود که با افزایش سختی سازه‌ی توبل در روش عددی از میزان تنش‌ها کاسته می‌شود، اما در روش تحلیلی با افزایش سختی، بر میزان تنش‌ها افزوده شده است. لازم به ذکر است که افزایش سختی باعث افزایش نیروها شده است، ولی اساساً باید منجر به کاهش تنش شود که شاهد خلاف این موضوع در روش تحلیلی هستیم. همچنین با افزایش عمق توبل، میزان تنش‌ها در روش عددی افزایش می‌باید در حالی که در روش تحلیلی با کاهش تنش مواجه هستیم. روش Wang در شرایط عدم لغزش در اعمق کمتر تقریب قابل اطمینان را ارائه می‌دهد.

در شکل ۱۹ و ۲۰ نیز نتایج مشابهی به ترتیب در ارتباط با تنش کششی و تنش برشی مشاهده می‌شود. در شکل‌های ۲۱ تا ۲۳ تاریخچه زمانی تغییر مکان‌های افقی در چند عمق مشاهده می‌شود (یادآور می‌شود که ضخامت توبل تأثیری بر میزان تغییر مکان‌های افقی توبل، که کاملاً تحت تأثیر تغییر مکان‌های افقی محیط است، ندارد)، در هر نوعی از خاک هرچه عمق بیشتر می‌شود، مقدار تغییر مکان‌های افقی کاهش می‌یابند. ذکر این نکته ضروری است که تغییر مکان‌های افقی سیستم

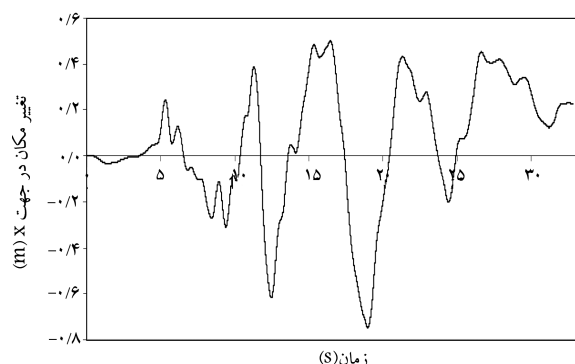
به منظور تکمیل نتیجه‌گیری‌ها، نیروهای محوری حاصل از روش عددی با روش تحلیلی Penzien در شکل ۱۶ مقایسه شده است. چنان‌که اشاره شد و نیز در مقایسه‌ی دو شکل ۱۵ و ۱۶ نیز مشاهده می‌شود، اختلاف عظیمی بین دو روش تحلیلی Wang و Penzien — در حالتی که لغزشی بین توبل و محیط وجود ندارد — دیده می‌شود. توصیه شده است از روش تحلیلی Penzien در به دست آوردن نیروهای محوری استفاده نشود. چنان‌که مشاهده می‌شود، مطابق پیش‌بینی‌های انجام شده اختلاف زیادی بین دو روش تحلیلی و نیز روش عددی و روش تحلیلی Penzien وجود دارد که تأیید می‌کند که از این روش تحلیلی در به دست آوردن نیروی محوری که با عدم اطمینان زیادی همراه است، استفاده نشود. همچنین در روش عددی با افزایش سختی، در میزان نیروهای محوری تغییری حاصل نمی‌شود، ولی روش تحلیلی Penzien افزایش نیرو را به همراه دارد. با افزایش عمق نیز در روش عددی بر میزان نیروها افزوده می‌شود، در حالی که این روش تحلیلی کاهش نیرو را نشان می‌دهد.

با توجه به شکل ۱۷ مشاهده می‌شود که در روش عددی با افزایش سختی سازه‌ی توبل بر میزان نیروهای برشی نیز افزوده می‌شود. در روش تحلیلی Penzien نیز بر اثر افزایش سختی شاهد افزایش نیروها هستیم. همچنین افزایش عمق توبل در روش عددی افزایش نیرو را به همراه دارد، ولی در روش تحلیلی کاهش نیرو وجود دارد (باید توجه داشت که در روش Wang نیروی برشی محاسبه نمی‌شود). برای تنتجه‌گیری عملی تنش‌های به وجود آمده توسط روش‌های عددی و تحلیلی مقایسه می‌شود. هدف از این کار، مقایسه‌ی کلی بین دو روش فوق است تا

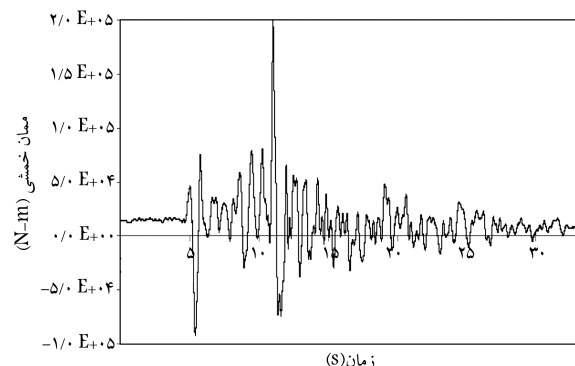
با تغییر مکان‌های نسبی بین دو نقطه که موجب افزایش نیروها و تنش‌ها می‌شود، مقاومت است.

در شکل ۲۴ نمونه‌یی از تاریخچه زمانی ممان خمشی مشاهده می‌شود. توجه شود که ممان خمشی در پایان مدت زمان زلزله نزدیک به مقدار آن در ابتدای زلزله است. این نمودار نشان‌دهنده‌ی انتطاق ممان خمشی با زلزله‌ی رخ داده است. از طرفی در شکل ۲۵ مشاهده می‌شود کهتابع فوریه ممان خمشی نیز منطبق با تابع فوریه زلزله ورودی است.

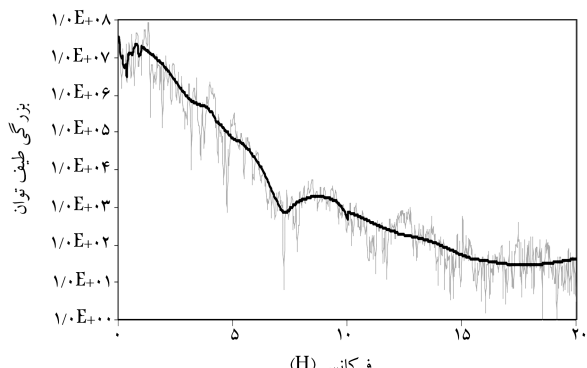
مطابق انتظار، بیشترین مقادیر نیرو در فرکانس‌های کم زلزله اتفاق می‌افتد، به‌طوری که فرکانس‌های بالای زلزله اثر ناچیزی در میزان نیروهای حاصله دارند. همان‌طور که ملاحظه می‌شود، بیشترین شتاب‌های زلزله در فرکانس‌های کم رخ داده،



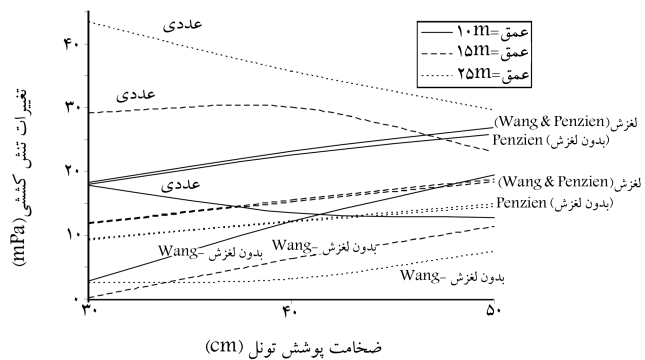
شکل ۲۳. تاریخچه زمانی تغییر مکان افقی تونل تحت تحریک زلزله در عمق ۲۵ متری.



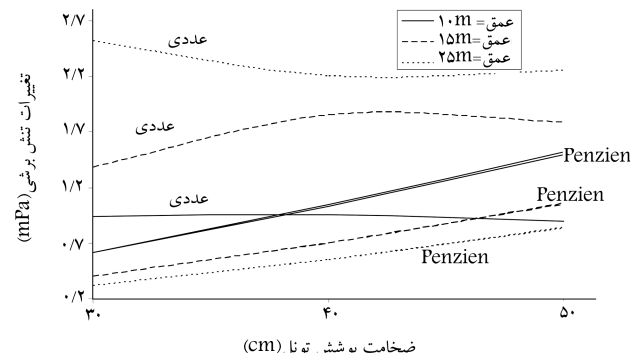
شکل ۲۴. نمونه‌یی از تابع تاریخچه زمانی ممان خمشی در عمق ۱۰ متری.



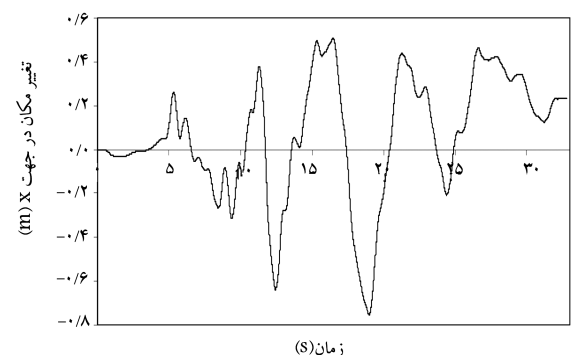
شکل ۲۵. نمونه‌یی از تابع F.F.T. تاریخچه زمانی ممان خمشی.



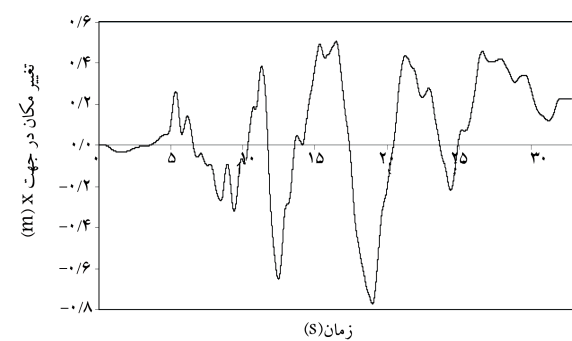
شکل ۱۹. مقایسه‌ی تنش‌های کششی ناشی از زلزله حاصل از روش عددی و روش تحلیلی.



شکل ۲۰. مقایسه‌ی تنش‌های برپی ناشی از زلزله حاصل از روش عددی و روش تحلیلی.



شکل ۲۱. تاریخچه زمانی تغییر مکان افقی تونل تحت تحریک زلزله در عمق ۱۰ متری.



شکل ۲۲. تاریخچه زمانی تغییر مکان افقی تونل تحت تحریک زلزله در عمق ۱۵ متری.

نتیجہ گیری

توانل و تغییر مکان‌های سازه که ناشی از تغییر مکان‌های محیط است، وجود ندارد. چنان‌که نتایج حاصله نشان می‌دهد، در تمامی حالات مختلف تاریخچه زمانی تغییر مکان‌های سازه کاملاً تحت تأثیر تاریخچه زمانی تغییر مکان‌های به دست آمده از شتاب زلزله است، و تمامی پاسخ‌های به دست آمده تقریباً مشابه یکدیگرند و اختلاف قابل توجهی ندارند. در پاسخ سازه در قالب نیروهای به دست آمده مقاوت‌های کاملاً اشکاری ناشی از عمق توغل مشاهده می‌شود و به نظر می‌رسد نتوان تغییر مکان‌های به وجود آمده سازه و محیط را با نیروها رابطه‌مند کرد. مشاهده می‌شود که در یک تغییر مکان مشخص که در طول زمان زلزله چندین بار تکرار شده، نیروها و ممان‌های مقاومتی حاصل شده است؛ همچنین مشاهده شد که بیشترین نیرو در پیشینه تغییر مکان اتفاق نمی‌افتد.

۱. با توجه به طیف‌های به دست آمده از نیروها مشاهده می‌شود که بیشترین میراث نیروها در فرکانس‌های کم زلزله به وجود می‌آید.

۵. نتایج حاصل از روش های تحلیلی و عددی انطباق خوبی با یکدیگر ندارند و روش های تحلیلی در بیشتر مواقع منجر به جواب های غیرواقعی می شوند که باسخنگو نیز نیستند. نکته ای قابل توجه دیگر آن که براساس نتایج به دست آمده از روش های تحلیلی افزایش تنش ها همراه با افزایش ضخامت پوشش تولن است که کاملاً عکس نتیجه به دست آمده از روش های عددی است. با افزایش ضخامت پوشش تولن تنش ها کاهش می یابد که به نظر می رسد این موضوع منطقی باشد: زیرا اگرچه با افزایش ضخامت شاهد افزایش نیروها هستیم ولی باید منجر به کاهش خطرپذیری زلزله شود که خلاف آن چیزی است که در نتایج تحلیلی به دست آمده مشاهده می شود، اما این مسئله تطابق خوبی با نتایج حاصل از روش عددی به کار رفته دارد.

براساس یک جمع‌بندی کلی شاید بتوان اظهار داشت که از روش‌های تحلیلی تنها برای تخمین میران نیروها و تنشی‌ها قبل از استفاده از یک مدل کامل عددی می‌توان استفاده کرد.

که در غالب زلزله‌ها نیز به همین ترتیب است (لازم به یادآوری است، فرکانس غالب زلزله‌ی به کار گرفته شده $1/3$ هertz است).

۱. با افزایش عمق تونل، که با افزایش سربار تونل همراه است، ناچیه‌ی خمیری اطراف تونل نیز افزایش می‌یابد و به‌تبع آن بر میزان نیروها و نتش‌های وارد بر سازه تونل افزوده می‌شود. در این تحقیق، تحلیل پویای بعد از مراحل ساخت و حفاری مشاهده شد، عملیات نصب پوشش بعد از مدل سازی حفاری انجام می‌شود که مدل سازی شد، عملیات نصب پوشش بعد از مدل سازی حفاری انجام می‌شود که مشاهده شد، عملیات نصب پوشش بعد از مدل سازی حفاری انجام شده است. همان‌طور که در مرحله‌ی ساخت و حفاری تحلیلی حفاری نیز براساس آزادسازی تشنه است. یعنی با این عمل، خاک را می‌توان به عنوان سربار بر سازه‌ی تونل وارد کرد، اما نتایج حاصل از روش‌های تحلیلی عنوان می‌کنند که با افزایش عمق تونل میزان آسیب کاهش می‌یابد. یادآور می‌شود که در این روش‌ها میزان جرم سازه و خاک ناچیز و همچنین محیط کاملاً کشسان فرض می‌شود، که به نظر می‌رسد اختلاف حاصله بر اثر در نظر گرفتن وزن خاک و افزایش وزن سربار تونل و همچنین محیط خمیری باشد. در این تحقیق براساس نتایج به دست آمده می‌توان ادعا کرد که با افزایش عمق تونل در خاک که همراه با افزایش میزان سربار همراه است میزان خطر و آسیب‌ذیری در تونل نیز افزایش یافته است.

۲. چنان که مشاهده شد با افزایش ضخامت پوشش تونل که همراه با افزایش سختی است، نیروهای واقع بر آن نیز افزایش می‌یابد که مطابق پیش‌بینی‌های انجام شده است.

۳. نیروهای بیشینه‌ی به وجود آمده در سازه در بیشینه‌ی تغییر مکان افقی به دست نمی‌آید، بلکه مقادیر بیشینه‌ی نیرو در زمانی که بیشترین مقدار سرعت (یا شتاب) وجود دارد، حاصل می‌شود. رابطه‌ی بین نیروهای به وجود آمده در پوشش

مراجع

1. Wang, Jaw-Nan (Joe), *Seismic Design of Tunnels*, A Simple State -of-the-Art Design Approach Parsons Brinckerhoff Quade & Douglas, Inc. (June 1993).
 2. Hashash Youssef, M.A.; Hooke Jeffrey, J.; Schmidt B. and Yaoa John, I.C. "Seismic design and analysis of underground structures", *Tunnelling and Underground Space Technology*, pp. 247-293 (2001).
 3. Hashash Youssef, M.A.; Tseng Wen, S. and Krimat A., *Seismic Soil-Structure Interaction Analysis for Immersed Tube Tunnels Retrofit*, Geotechnic Earthquake Eng. Soil Mech III.2, 1380-1391, ASCE Geotechnical Special Publication (75) (1998).
 4. Hashash Youssef, M.A., *Seismic Behavior of Underground Structures and Site Response*, University of Illinois at Urbana Champaign, Urbana, IL, USA. (2002).
 5. Hashash Youssef, M.A., *Seismic Design of Tunnels*, A Simple State -of-the-Art Design Approach Parsons Brinckerhoff Quade & Douglas, Inc. (June 1993).
 6. Hashash Youssef, M.A.; Park, D. and Chiang Yao John, I. "Ovaling deformations of circular tunnels under seismic loading, an update on seismic design and analysis of underground structures", *Tunnelling and Underground Space Technology*, **20**, pp. 435-441 (2005).
 7. Penzien, J. "Seismically induced racking of tunnel linings", *Int. J. Earthquake Eng. Struct. Dynamics*, **29**, pp. 683-691 (2000).
 8. Ortlepp William, D. "The behaviour of tunnels at great depth under large static and dynamic pressures", *Tunnelling and Underground Space Technology*, pp. 41-48 (2001).
 9. FLAC - Fast Lagrangian Analysis of Continua User's Manual (2002).